

УДК 539.3

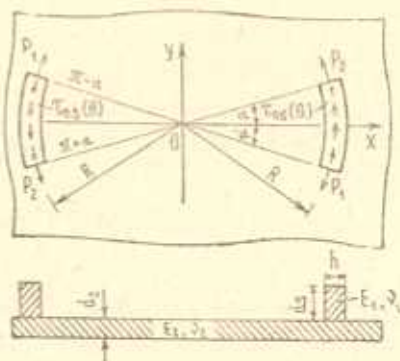
ПЕРЕДАЧА НАГРУЗКИ ОТ ДВУХ ОДИНАКОВЫХ  
 КОЛЬЦЕОБРАЗНЫХ БРУСЬЕВ К УПРУГОЙ БЕСКОНЕЧНОЙ  
 ПЛАСТИНЕ

ТУМАНЯН Р. С.

Рассматривается задача о передаче нагрузок от неполных упругих круговых брусьев (накладок) малых поперечных сечений к упругой бесконечной пластине.

Обсуждаемая здесь задача относится к разделу теории упругости о контактом взаимодействии тонкостенных элементов в виде накладок с массивными деформируемыми телами, основные достижения которого отражены в [1]. Здесь укажем лишь на работы [2—10], близко примыкающие к приводимому ниже исследованию.

1. Пусть упругая бесконечная пластина ( $E_2, \nu_2$ ) высотой  $d_2$  на своей верхней грани усилена двумя кольцеобразными упругими брусьями ( $E_1, \nu_1$ ) с круговыми осями радиусов  $R$ , имеющими высоту  $d_1$ , ширину  $h$ , угол раствора  $2\alpha$  ( $0 < \alpha < \pi/2$ ) и расположенными симметрично относительно вертикальной оси  $oy$ . К концам брусьев в направлении их осей приложены сосредоточенные силы, а их верхние грани в этом же направлении нагружены произвольными тангенциальными силами (фиг. 1). Будем считать, что  $h, d_1 \ll R$  ( $h < d_1$ ). Требуется определить контактные напряжения под брусьями и коэффициенты их интенсивностей на концах брусьев.



фиг. 1

Кольцеобразные брусья рассматриваются в рамках классической теории тонких оболочек, имеющих пренебрежимо малые изгибные жесткости в вертикальном и поперечном направлениях, а упругая бесконечная пластина — в рамках плоской теории упругости при условиях обобщенного плоского напряженного состояния.

Для вывода определяющего уравнения поставленной задачи воздействие кольцеобразных накладок заменим неизвестными осевыми тангенциальными  $\bar{\tau}_i(\theta)$  и поперечными радиальными  $\bar{q}_i(\theta)$  контактными напряжениями. По известной методике [11] после простых выкладок

для деформации в окружном направлении  $\epsilon_{\theta}^{(2)}$  от сосредоточенных вдоль круговой дуги радиуса  $R$  и раствора  $2\alpha$  тангенциальных и радиальных сил интенсивностей  $\bar{\tau}_s(\theta)$  и  $\bar{q}_s(\theta)$  соответственно получим следующее выражение:

$$\begin{aligned} \epsilon_{\theta}^{(2)} = & \frac{(1+\nu_2)(3-\nu_2)}{8\pi E_2 d_2} \int_{-\alpha}^{\alpha} \left[ \operatorname{ctg} \frac{u-\theta}{2} + \operatorname{tg} \frac{u-\theta}{2} - 2 \sin(u-\theta) \right] \bar{\tau}_s(u) du - \\ & - \frac{1-\nu_2^2}{2\pi E_2 d_2} \left[ \frac{\alpha}{R} (P_1 + P_2) - \int_{-\alpha}^{\alpha} \bar{\tau}_s(u) u du + \int_{-\alpha}^{\alpha} \tau_{0s}(u) u du \right] \end{aligned} \quad (1.1)$$

Поскольку  $h, d_s \ll R$ , то жесткостями изгиба брусьев в вертикальном и поперечном направлениях пренебрегаем. В итоге согласно [12] придем к уравнениям

$$\frac{1}{R} \frac{dT_1(\theta)}{d\theta} + \frac{\tau_{0s}(\theta) - \bar{\tau}_s(\theta)}{d_s} = 0; \quad \bar{q}_s(\theta) = -\frac{d_s}{R} T_1(\theta) \quad (1.2)$$

и граничным условиям

$$T_1(-\alpha) = \frac{P_1}{d_s}; \quad T_1(\alpha) = \frac{P_2}{d_s} \quad (1.3)$$

Здесь  $T_1(\theta)$  — осевое усилие в брусце. Отметим, что согласно (1.2) функцией  $\bar{q}_s(\theta)$  дается также радиальное усилие в брусце.

Из этих уравнений при помощи закона Гука для осевой деформации  $\epsilon_1(\theta)$  накладки получим следующее выражение:

$$\epsilon_1(\theta) = \frac{1}{A_s E_1} \left\{ P_1 + R \int_{-\alpha}^{\alpha} [\bar{\tau}_s(u) - \tau_{0s}(u)] du \right\}; \quad (-\alpha < \theta < \alpha) \quad (1.4)$$

где  $A_s = hd_s$  — ее площадь поперечного сечения.

Далее, запишем условие контакта

$$\epsilon_{\theta}^{(2)} = \epsilon_1(\theta); \quad (-\alpha < \theta < \alpha)$$

которое с учетом (1.1) и (1.4) решение поставленной контактной задачи после перехода к безразмерным величинам окончательно сводит к решению следующего сингулярного интегро-дифференциального уравнения:

$$\int_{-\alpha}^{\alpha} \left[ \operatorname{ctg} \frac{u-\theta}{2} + K(u-\theta) \right] \varphi'(u) du = \lambda \varphi(\theta) + f(\theta) - \nu_0^* C; \quad (-\alpha < \theta < \alpha) \quad (1.5)$$

при граничных условиях

$$\varphi(-\alpha) = 0; \quad \varphi(\alpha) = 1 \quad (1.6)$$

вытекающих из условий равновесия накладок.

Здесь введены обозначения

$$\lambda = \frac{8\pi R d_2 E_2}{(1+\nu_2)(3-\nu_2) h d_1 E_1}; \quad \nu_0^* = \frac{4(1-\nu_2)}{3-\nu_2}; \quad \varphi(\theta) = \int_{-\alpha}^{\theta} \tau(u) du$$

$$f(\theta) = \lambda \left[ p_1 - \int_{-\alpha}^{\theta} \tau_0(u) du \right] + \nu_0^* \left[ \alpha(p_1 + p_2) + \int_{-\alpha}^{\alpha} \tau_0(u) u du \right]$$

$$\tau(u) = \frac{R}{\rho} \bar{\tau}_s(u); \quad \tau_0(u) = \frac{R}{\rho} \tau_{0s}(u) \quad (1.7)$$

$$p_1 = \frac{P_1}{\rho}; \quad p_2 = \frac{P_2}{\rho}; \quad P = P_2 - P_1 + R \int_{-\alpha}^{\alpha} \tau_{0s}(u) du$$

$$K(u-\theta) = \operatorname{tg} \frac{u-\theta}{2} - 2 \sin(u-\theta); \quad C = \int_{-\alpha}^{\alpha} \tau(u) u du$$

При этом радиальные контактные напряжения будут определяться по формуле

$$q(\theta) = -p_1 - \varphi(\theta) + \int_{-\alpha}^{\theta} \tau_0(u) du; \quad q(\theta) = \frac{R}{\rho} \bar{q}_s(\theta) \quad (1.8)$$

и при больших  $R$  можно считать  $\bar{q}_s(\theta) \approx 0$ .

Отметим, что первый интеграл в (1.5) следует понимать в смысле главного значения по Коши.

2. Для решения сингулярного интегро-дифференциального уравнения (1.5) при граничных условиях (1.6), следуя известной процедуре [6, 8], положим

$$\tau(\theta) - \varphi'(\theta) = \frac{\sec \frac{\theta}{2}}{\sqrt{2(\cos \theta - \cos \alpha)}} \sum_{n=0}^{\infty} X_n T_n \left( \frac{\operatorname{tg} \frac{\theta}{2}}{\operatorname{tg} \frac{\alpha}{2}} \right); \quad (-\alpha < \theta < \alpha) \quad (2.1)$$

где  $T_n(\theta)$  — многочлены Чебышева первого рода;  $X_n$  ( $n = 0, 1, 2, \dots$ ) — неизвестные коэффициенты, подлежащие определению.

Отсюда после простых выкладок получим

$$\begin{aligned} \varphi(\theta) = \sec \frac{\alpha}{2} \left\{ X_0 \left[ \pi - \arccos \left( \operatorname{tg} \frac{\theta}{2} \operatorname{ctg} \frac{\alpha}{2} \right) \right] - \right. \\ \left. - \sum_{n=1}^{\infty} n^{-1} X_n \sin \left[ n \arccos \left( \operatorname{tg} \frac{\theta}{2} \operatorname{ctg} \frac{\alpha}{2} \right) \right] \right\}; \quad (-\alpha < \theta < \alpha) \quad (2.2) \end{aligned}$$

Из граничных условий (1.6) непосредственно находим

$$X_0 = \pi^{-1} \cos \frac{\alpha}{2}$$

Относительно остальных коэффициентов  $\{X_n\}_{n=1}^{\infty}$  получим следующую бесконечную систему линейных уравнений:

$$\chi_m + \sum_{n=1}^{\infty} K_{m,n} \chi_n = f_m - \nu_0^2 C h_m; \quad (m=1, 2, \dots) \quad (2.3)$$

где введены обозначения

$$K_{m,n} = \frac{2\lambda_1}{n\pi^2} \operatorname{tg} \frac{\alpha}{2} \int_0^{\pi} \frac{\sin \varphi \sin m\varphi \sin n\varphi}{1 + \operatorname{tg}^2 \frac{\alpha}{2} \cos^2 \varphi} d\varphi - h_{m,n}^{(1)} - h_{m,n}^{(2)} -$$

$$- \frac{2}{\pi} \int_0^{\pi} \left( \frac{\sqrt{1 - \operatorname{tg}^2 \frac{\alpha}{2} \cos^2 \varphi} - 1}{\operatorname{tg}^2 \frac{\alpha}{2} \cos^2 \varphi} \right)^n \frac{\operatorname{tg} \varphi \sin m\varphi}{\sqrt{1 - \operatorname{tg}^2 \frac{\alpha}{2} \cos^2 \varphi}} d\varphi; \quad (m, n = 1, 2, \dots)$$

$$f_m = \left( 2\pi^2 \operatorname{tg} \frac{\alpha}{2} \right)^{-1} \int_{-\pi}^{\pi} f(\theta) \frac{\sqrt{2(\cos \theta - \cos 2)}}{\cos(\theta/2)} U_{m-1} \left( \operatorname{tg} \frac{\theta}{2} \operatorname{ctg} \frac{\alpha}{2} \right) d\theta +$$

$$+ 2\lambda_1 \pi^{-2} X_0 \operatorname{tg} \frac{\alpha}{2} \int_0^{\pi} \frac{(\pi - \varphi) \sin \varphi \sin m\varphi}{1 + \operatorname{tg}^2 \frac{\alpha}{2} \cos^2 \varphi} d\varphi - \quad (2.4)$$

$$- 2\pi^{-1} X_0 \int_0^{\pi} \left( 1 - \frac{1 + \operatorname{tg}^2 \frac{\alpha}{2} \cos^2 \varphi}{\sqrt{1 - \operatorname{tg}^2 \frac{\alpha}{2} \cos^2 \varphi}} \right) \frac{\operatorname{tg} \varphi \sin m\varphi}{1 + \operatorname{tg}^2 \frac{\alpha}{2} \cos^2 \varphi} d\varphi +$$

$$+ X_0 (f_m^{(1)} + f_m^{(2)}); \quad (m = 1, 2, \dots)$$

$$h_{2k} = 0; \quad h_{2k-1} = (-1)^{k-1} 2\pi^{-1} \cos \frac{\alpha}{2} \left( \operatorname{tg} \frac{\alpha}{4} \right)^{2k-1}; \quad (k = 1, 2, \dots)$$

$$h_{2k, 2p}^{(1)} = 0; \quad h_{2k-1, 2p-1}^{(1)} = (-1)^{k+p} 8(2k-1) \cos^2 \frac{\alpha}{2} \left( \operatorname{tg} \frac{\alpha}{4} \right)^{2(k+p-1)}; \quad (k, p = 1, 2, \dots)$$

$$h_{2k, 2p}^{(2)} = (-1)^{k+p} 16k \cos^2 \frac{\alpha}{2} \left( \operatorname{tg} \frac{\alpha}{4} \right)^{2(k+p)}; \quad h_{2k-1, 2p-1}^{(2)} = 0; \quad (k, p = 1, 2, \dots)$$

$$f_{2k}^{(1)} = (-1)^k 8k \cos \frac{\alpha}{2} \left( 2 \cos \frac{\alpha}{2} - 1 \right) \left( \operatorname{tg} \frac{\alpha}{4} \right)^{2k}; \quad f_{2k-1}^{(1)} = 0; \quad (k = 1, 2, \dots)$$

$$f_{2k}^{(2)} = (-1)^k 2 \left( \operatorname{tg} \frac{\alpha}{4} \right)^{2k}; \quad f_{2k-1}^{(2)} = 0; \quad (k = 1, 2, \dots)$$

Здесь  $U_{m-1}(\theta)$  ( $m = 1, 2, \dots$ ) — многочлены Чебышева второго рода.

3. Перейдем к исследованию (2.3). С этой целью оценим суммы

$$S_m = \sum_{n=1}^{\infty} |K_{m,n}| \leq S_m^{(1)} + S_m^{(2)} + S_m^{(3)} + S_m^{(4)}; \quad (m = 1, 2, \dots) \quad (3.1)$$

где

$$S_m^{(1)} = \sum_{n=1}^{\infty} \left| \frac{1}{n} K_{m,n}^{(1)} \right|; \quad S_m^{(2)} = \sum_{n=1}^{\infty} \left| \frac{1}{n} K_{m,n}^{(2)} \right|$$

$$S_m^{(3)} = \sum_{n=1}^{\infty} \left| \frac{1}{n} K_{m,n}^{(3)} \right|; \quad S_m^{(4)} = \sum_{n=1}^{\infty} \left| \frac{1}{n} R_{m,n} \right|$$

$$K_{m,n}^{(1)} = \frac{4}{\pi^2} \int_0^{\pi} \int_0^{\pi} f_1(\varphi, t) \sin m\varphi \sin nt \, d\varphi \, dt$$

$$K_{m,n}^{(2)} = \frac{4}{\pi^2} \int_0^{\pi} \int_0^{\pi} f_2(\varphi, t) \sin m\varphi \sin nt \, d\varphi \, dt$$

$$K_{m,n}^{(3)} = \frac{4}{\pi^2} \int_0^{\pi} \int_0^{\pi} f_3(\varphi, t) \sin m\varphi \sin nt \, d\varphi \, dt$$

$$R_{m,n} = 2\lambda \pi^{-2} \operatorname{tg} \frac{\alpha}{2} \int_0^{\pi} \frac{\sin \varphi \sin m\varphi \sin n\varphi}{1 + \operatorname{tg}^2 \frac{\alpha}{2} \cos^2 \varphi} \, d\varphi$$

(3.2)

а функции  $f_1(\varphi, t)$ ,  $f_2(\varphi, t)$  и  $f_3(\varphi, t)$  имеют вид

$$f_1(\varphi, t) = \frac{1}{2} \operatorname{tg}^2 \frac{\alpha}{2} \frac{\sin \varphi \sin t}{\left(1 + \operatorname{tg}^2 \frac{\alpha}{2} \cos \varphi \cos t\right)^2}$$

$$f_2(\varphi, t) = -2 \operatorname{tg}^4 \frac{\alpha}{2} \frac{\sin 2\varphi \sin 2t}{\left(1 + \operatorname{tg}^2 \frac{\alpha}{2} \cos^2 \varphi\right)^2 \left(1 + \operatorname{tg}^2 \frac{\alpha}{2} \cos^2 t\right)^2}$$

После простых преобразований получим

$$S_m^{(4)} \leq \frac{\lambda \operatorname{tg} \frac{\alpha}{2}}{2\pi^2} \left[ \sum_{n=1}^{\infty} \frac{|M_{m+n-1}|}{n} + \sum_{n=1}^{\infty} \frac{|M_{m-n+1}|}{n} + \sum_{n=1}^{\infty} \frac{|M_{m+n+1}|}{n} + \sum_{n=1}^{\infty} \frac{|M_{m-n+1}|}{n} \right]$$

Здесь

$$|M_\rho| = \int_0^{\pi} \frac{|\sin \rho \varphi|}{1 + \operatorname{tg}^2 \frac{\alpha}{2} \cos^2 \varphi} \, d\varphi \leq \frac{B}{|\rho|}; \quad B = \frac{2 + \pi \operatorname{tg}^2 \frac{\alpha}{2}}{1 + \operatorname{tg}^2 \frac{\alpha}{2}}$$

Оценив каждую сумму в выражении  $S_m^{(4)}$ , окончательно будем иметь

$$S_m^{(4)} \leq \frac{\lambda \operatorname{tg} \frac{\alpha}{2}}{2\pi^2} \left\{ \frac{B}{m-1} \left[ c + \ln(m-1) + \frac{1}{2(m-1)} - \chi(m-1) \right] + B_m + \right.$$

$$+ B \left[ \frac{1}{(m+1)^2} + \frac{3}{m+1} \left( c + \ln m + \frac{1}{2m} - \chi(m) \right) \right] +$$

$$+ \frac{B}{m+1} \left[ c + \ln(m+1) + \frac{1}{2(m+1)} - \chi(m+1) \right] + B_m + \quad (3.3)$$

$$\left. + \frac{B}{m-1} \left[ 3c + \ln(m-1)(m-2)^2 + \frac{1}{2(m-1)} + \frac{1}{m-2} - \chi(m-1) - 2\chi(m-2) \right] \right\}$$

Здесь учтена известная формула 0.131 [13], где  $c$  — постоянная Эйлера, а функция

$$\chi(m) = \sum_{k=2}^{\infty} \frac{A_k}{m(m+1) \dots (m+k-1)}$$

где

$$A_k = \frac{1}{k} \int_0^1 x(1-x)(2-x) \dots (k-1-x) dx \quad (k=2, 3, \dots)$$

$$B_m = \begin{cases} B\pi^2/6 & \text{при } m=1 \\ 0 & \text{при } m=2, 3, \dots \end{cases} \quad B'_m = \begin{cases} B\pi^2/6 & \text{при } m=1 \\ B & \text{при } m=2, 3, \dots \end{cases}$$

Отсюда видно, что, по крайней мере,

$$\chi(m) = o\left(\frac{1}{m}\right) \quad \text{при } m \rightarrow \infty$$

Из неравенства (3.3) следует, что

$$S_m^{(j)} = o(m^{\epsilon-1}) \quad \text{при } m \rightarrow \infty$$

где  $\epsilon$  — сколь угодно малое положительное фиксированное число.

Обращаясь к оценке сумм  $S_m^{(j)}$  ( $j=1, 2, 3$ ) из (3.2), при помощи известного неравенства Коши-Буняковского и равенства Парсеваля для двойных рядов Фурье легко показать, что

$$S_m^{(j)} = o(m^{\epsilon-1/2}) \quad \text{при } m \rightarrow \infty \quad (j=1, 2, 3)$$

В результате

$$S_m = o(m^{\epsilon-1/2}) \quad \text{при } m \rightarrow \infty$$

что и означает, что бесконечная система линейных уравнений (2.3) при любом значении физического параметра  $\lambda$  ( $0 < \lambda < \infty$ ) квазивполне регулярна.

Далее можно показать, что при  $m \rightarrow \infty$  свободные члены бесконечной системы (2.3) стремятся к нулю со скоростью не менее, чем  $m^{-1/2}$ .

Займемся определением постоянной  $C$ . Пусть  $\{X_m^{(j)}\}_{m=1}^{\infty}$  и  $\{X_m^{(h)}\}_{m=1}^{\infty}$  будут решениями бесконечной системы (2.3) при правых частях, равных  $\{f_m\}_{m=1}^{\infty}$  и  $\{h_m\}_{m=1}^{\infty}$  соответственно. Тогда решение  $\{X_m\}_{m=1}^{\infty}$  системы (2.3) будет даваться формулой

$$X_m = X_m^{(j)} - v_0^* C X_m^{(h)}; \quad (m=1, 2, \dots) \quad (3.4)$$

С другой стороны, из (1.7) и (2.1) получим

$$C = \left[ 1 + v_0^* \sum_{n=1}^{\infty} C_n X_n^{(h)} \right]^{-1} \left[ X_0 C_0 + \sum_{n=1}^{\infty} C_n X_n^{(j)} \right] \quad (3.5)$$

где

$$C_n = 2 \sec \frac{\alpha}{2} \int_0^{\frac{\pi}{2}} \arctg \left( \operatorname{tg} \frac{\alpha}{2} \cos \varphi \right) \cos n\varphi d\varphi; \quad (n=0, 1, 2, \dots) \quad (3.6)$$

Отметим, что исходя из (2.1), для коэффициентов интенсивностей тангенциальных контактных напряжений в концевых точках накладок получим

$$A_1 = \lim_{\theta \rightarrow \alpha} \sqrt{\alpha - \theta} \tau(\theta) = \frac{1}{2} \sec^2 \frac{\alpha}{2} \sqrt{\operatorname{ctg} \frac{\alpha}{2}} \left( X_0 + \sum_{n=1}^{\infty} X_n \right) \quad (3.7)$$

$$A_2 = \lim_{\theta \rightarrow -\alpha} \sqrt{\alpha + \theta} \tau(\theta) = \frac{1}{2} \sec^2 \frac{\alpha}{2} \sqrt{\operatorname{ctg} \frac{\alpha}{2}} \left[ X_0 + \sum_{n=1}^{\infty} (-1)^n X_n \right]$$

4. Для числовых расчетов было положено  $\tau_0(\theta) \equiv 0$  и рассмотрены два случая загрузки накладок. В первом случае (симметричное нагружение)  $P_1 = P_2$ . Тогда  $P = 0$  и в качестве  $P$  формально можно принять  $P_1$ , что даст  $p_1 = p_2 = 1$ . Поскольку в разбираемом случае распределение  $\tau(\theta)$  нечетное, то вместо (2.1) будем иметь

$$\tau(\theta) = \frac{\sec \frac{\theta}{2}}{\sqrt{2(\cos \theta - \cos \alpha)}} \sum_{n=1}^{\infty} X_{2n-1} T_{2n-1} \left( \frac{\operatorname{tg} \frac{\theta}{2}}{\operatorname{tg} \frac{\alpha}{2}} \right); \quad (-\alpha < \theta < \alpha) \quad (4.1)$$

а вместо (1.8) —

$$q(\theta) = -1 + \sec \frac{\alpha}{2} \sum_{n=1}^{\infty} (2n-1)^{-1} X_{2n-1} \sin \left[ (2n-1) \arccos \left( \operatorname{tg} \frac{\theta}{2} \operatorname{ctg} \frac{\alpha}{2} \right) \right] \quad (-\alpha \leq \theta \leq \alpha) \quad (4.2)$$

Соответствующая (2.3) бесконечная система имеет вид

$$X_{2m-1} + \sum_{n=1}^{\infty} K_{2m-1, 2n-1} X_{2n-1} = f_{2m-1} - \nu_0' C h_{2m-1}; \quad (m=1, 2, \dots) \quad (4.3)$$

где

$$f_{2m-1} = (-1)^{m-1} 2\pi^{-1} (\lambda + 2.08\lambda) \cos \frac{\alpha}{2} \left( \operatorname{tg} \frac{\alpha}{4} \right)^{2m-1} \quad (m=1, 2, \dots)$$

$$h_{2m-1} = (-1)^{m-1} 2\pi^{-1} \cos \frac{\alpha}{2} \left( \operatorname{tg} \frac{\alpha}{4} \right)^{2m-1}$$

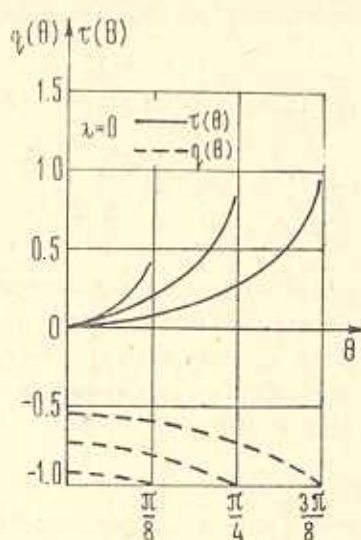
а выражение  $K_{2m-1, 2n-1}$  дается формулой (2.4). Отметим, что из (4.2)

$q(\alpha) = -1$ , а из (3.5)

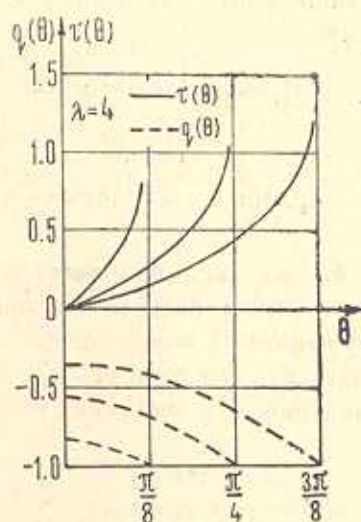
$$C = \left| 1 + \nu_0' \sum_{n=1}^{\infty} C_{2n-1} X_{2n-1}^{(n)} \right|^{-1} \sum_{n=1}^{\infty} C_{2n-1} X_{2n-1}^{(n)}$$

Численная реализация (4.1)–(4.3) была осуществлена при  $\lambda=0$ ; 4; 6;  $\alpha = \pi/8$ ;  $\pi/4$ ;  $3\pi/8$ ;  $\nu_2 = 0,3$ . Причем каждое значение  $\lambda$  сочеталось со всеми заданными значениями  $\alpha$ . Сначала на ЭВМ „ЕС–1022“ была решена соответствующая укороченная система (4.3). Затем вы-

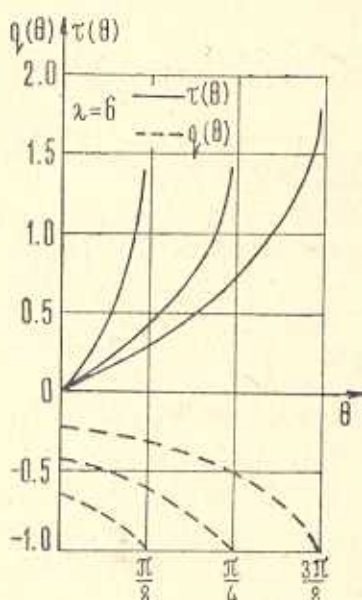
числения производились по формулам (4.1) и (4.2). Значения коэффициентов интенсивностей  $A_1$  и  $A_2$  ( $A_2 = -A_1$ ) подсчитались по формуле (3.7). Значения  $\tau(\theta)$  и  $q(\theta)$ , вычисленные с точностью до  $10^{-4}$ , приведены на графиках (фиг. 2—4), а значения  $A_1$  — в табл. 1.



Фиг. 2



Фиг. 3



Фиг. 4

Таблица 1

$\lambda$	0.0	4.0	6.0
$\pi/8$	0.05790	0.29609	0.39441
$\pi/4$	0.16659	0.44138	0.54219
$3\pi/8$	0.31596	0.57170	0.66116

Анализ численных результатов позволяет утверждать, что по мере возрастания размеров контактной зоны напряжения  $\tau(\theta)$  и  $q(\theta)$  (по абсолютной величине) заметно падают. Такую же закономерность можно обнаружить при возрастании  $\lambda$ , то есть при уменьшении жесткости системы накладка—основание  $E_1/E_2$ . Из табл. же 1 видно, что по

мере возрастания  $\lambda$  и  $\alpha$  коэффициент  $A_1$  заметно увеличивается. Последнее обстоятельство указывает на то, что при возрастании этих параметров нагрузка, в основном, поглощается в концевых зонах накладок. Кроме того, здесь сказывается эффект взаимовлияний друг на друга брусьев. Вследствие последнего по мере возрастания  $\alpha$  значение

$A_1$  получается больше, чем соответствующее значение  $A_1$  при изолированном одном брусе.

Во втором случае (кососимметрическое нагружение)  $P_2 = -P_1$ . В этом случае  $P = 2P_2$  и соответствующие (4.1)–(4.3) формулы будут

$$\tau(\theta) = \frac{\sec \frac{\theta}{2}}{\sqrt{2(\cos \theta - \cos \alpha)}} \left[ \pi^{-1} \cos \frac{\alpha}{2} + \sum_{n=1}^{\infty} X_{2n} T_{2n} \left( \frac{\operatorname{tg} \frac{\theta}{2}}{\operatorname{tg} \frac{\alpha}{2}} \right) \right]; \quad (-\alpha < \theta < \alpha) \quad (4.4)$$

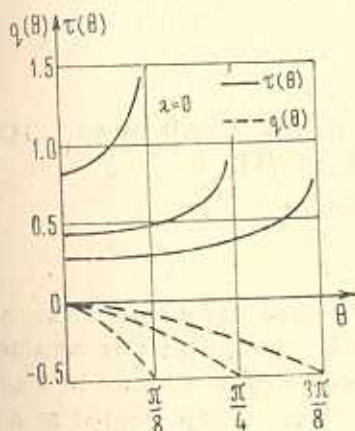
$$q(\theta) = -\frac{1}{2} + \frac{1}{2} \sec \frac{\alpha}{2} \sum_{n=1}^{\infty} n^{-1} X_{2n} \sin \left[ 2n \operatorname{arctg} \left( \operatorname{tg} \frac{\theta}{2} \operatorname{ctg} \frac{\alpha}{2} \right) \right] + \\ + \pi^{-1} \operatorname{arc} \cos \left( \operatorname{tg} \frac{\theta}{2} \operatorname{ctg} \frac{\alpha}{2} \right); \quad (-\alpha \leq \theta \leq \alpha)$$

$$X_{2m} + \sum_{n=1}^{\infty} K_{2m, 2n} X_{2n} = f_{2m}; \quad (m = 1, 2, \dots) \quad (4.5)$$

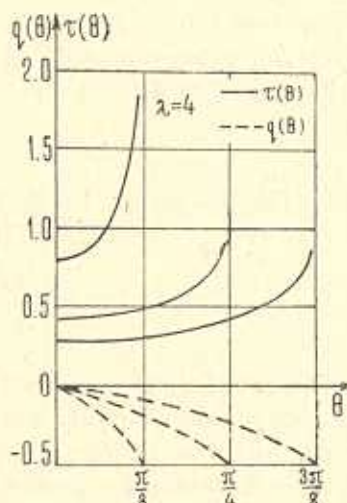
где

$$f_{2m} = -2\pi^{-2} \sin \frac{\alpha}{2} \int_0^{\pi} \frac{\varphi \sin \varphi \sin 2m\varphi}{1 + \operatorname{tg}^2 \frac{\alpha}{2} \cos^2 \varphi} d\varphi + \\ + (-1)^m 2\pi^{-1} \cos \frac{\alpha}{2} \left( \operatorname{tg} \frac{\alpha}{4} \right)^{2m} \left[ 4m \cos \frac{\alpha}{2} \left( 2 \cos \frac{\alpha}{2} - 1 \right) + 1 \right] - \\ - 2\pi^{-2} \cos \frac{\alpha}{2} \int_0^{\pi} \left( 1 - \frac{1 + \operatorname{tg}^2 \frac{\alpha}{2} \cos^2 \varphi}{\sqrt{1 - \operatorname{tg}^2 \frac{\alpha}{2} \cos^2 \varphi}} \right) \frac{\operatorname{tg} \varphi \sin 2m\varphi}{1 + \operatorname{tg}^2 \frac{\alpha}{2} \cos^2 \varphi} d\varphi; \quad (m = 1, 2, \dots)$$

а  $K_{2m, 2n}$ , как ранее, дается формулой (2.4), причем  $q(\alpha) = -1/2$ .



Фиг. 5



Фиг. 6



means of Chebyshev's apparatus of orthogonal polynomials is reduced to an equivalent quasi-whole regular infinite system of linear equations. Numerical examples are presented.

#### ЛИТЕРАТУРА

1. Развитие теории контактных задач в СССР. М.: Наука, 1976.
2. *Стернберг Е., Муки Р.* Передача нагрузки от растягиваемого поперечного стержня к полубесконечной упругой пластине. Прикладная механика, Труды американского о-ва инженеров-механиков, русский перевод, серия Е, 1968, т. 35, № 4.
3. *Арутюнян Н. Х.* Контактная задача для полуплоскости с упругим креплением.— ПММ, т. 32, вып. 4, 1968.
4. *Арутюнян Н. Х., Мхитарян С. М.* Периодическая контактная задача для полуплоскости с упругими накладками.— ПММ, т. 33, вып. 5, 1969.
5. *Arutunian N. K., Mkhitarian S. M.* Some contact problems for a semi-plane with elastic stiffeners. Trends in elasticity and thermoelasticity. Witold Novacki Anniversary Volume, Groningen, Wolters-Noordhoff Publ., 1971, p. 3-20.
6. *Арутюнян Н. Х., Мхитарян С. М.* Некоторые контактные задачи полупространства, усиленного упругими накладками.— ПММ, т. 36, вып. 5, 1972.
7. *Морарь Г. А., Попов Г. Я.* К периодической контактной задаче для полуплоскости с упругим конечным креплением.— ПММ, 1970, т. 34, вып. 3.
8. *Морарь Г. А., Попов Г. Я.* К периодической контактной задаче для полуплоскости с упругими накладками.— ПММ, 1971, т. 35, вып. 1.
9. *Александров В. М., Солодовник М. Д.* Эффективный метод решения задачи о взаимодействии накладки (стрингера) с упругой полуплоскостью и некоторые новые качественные результаты. Труды X Всесоюзной конференции по теории оболочек и пластин. Т. I, Тбилиси: Изд-во «Мецниереба», 1975.
10. *Александров В. М., Соловьев А. С.* Некоторые смешанные плоские задачи теории упругости и их приложение к расчету погрешностей тензодатчиков.— МТТ, 1970, № 1.
11. *Мусхелишвили Н. И.* Некоторые основные задачи математической теории упругости. М.: Наука, 1966.
12. *Новажиллов В. В.* Теория тонких оболочек. Л.: Судпромгиз, 1962.
13. *Градштейн И. С., Рыжик И. М.* Таблицы интегралов, сумм, рядов и произведений. М.: Физматгиз, 1963.

Кировокавказский филиал ЕрПИ  
им. К. Маркса

Поступила в редакцию  
13.V.1983